



1/35

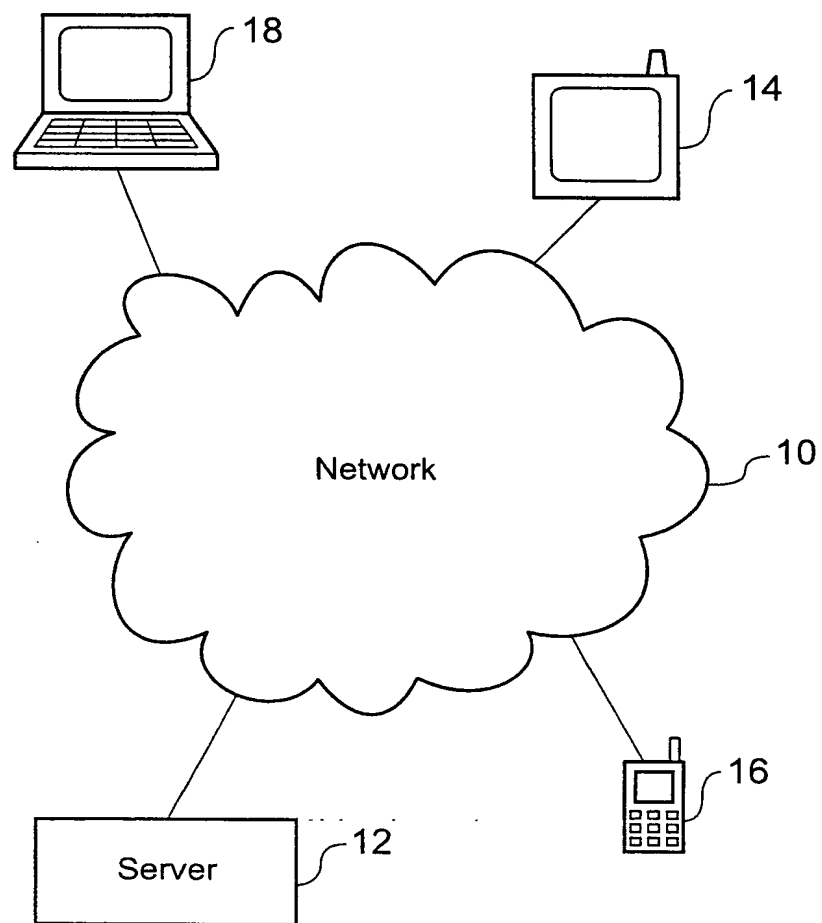


Fig. 1

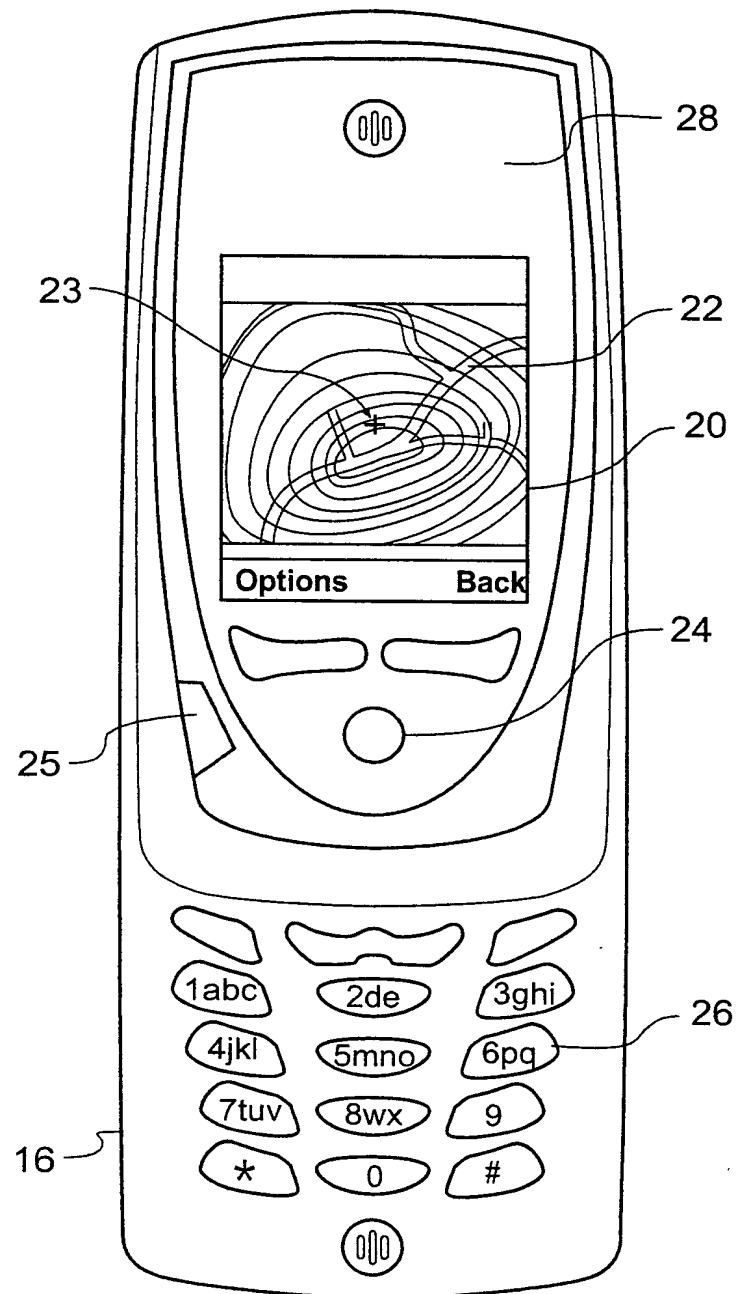


Fig. 2

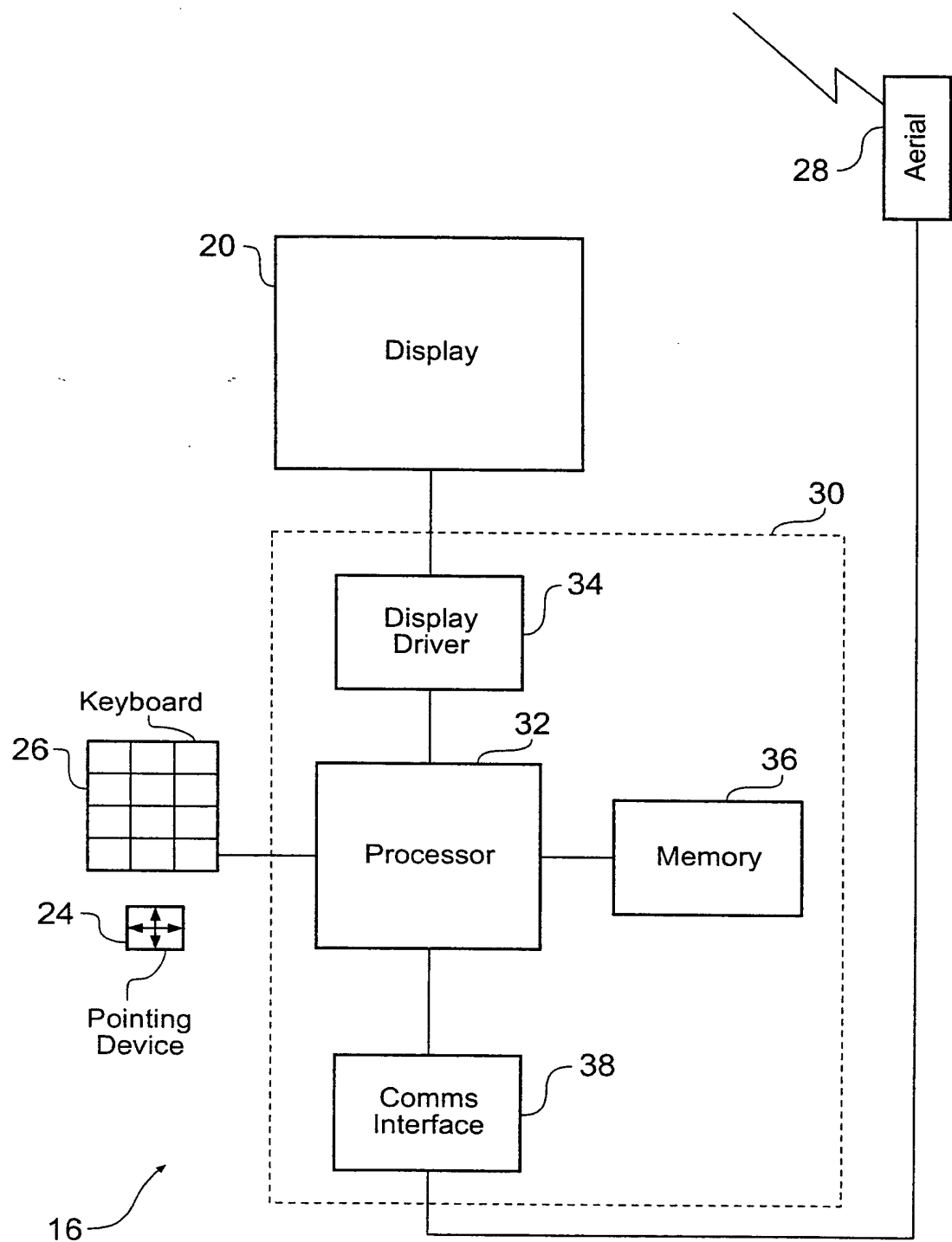


Fig. 3

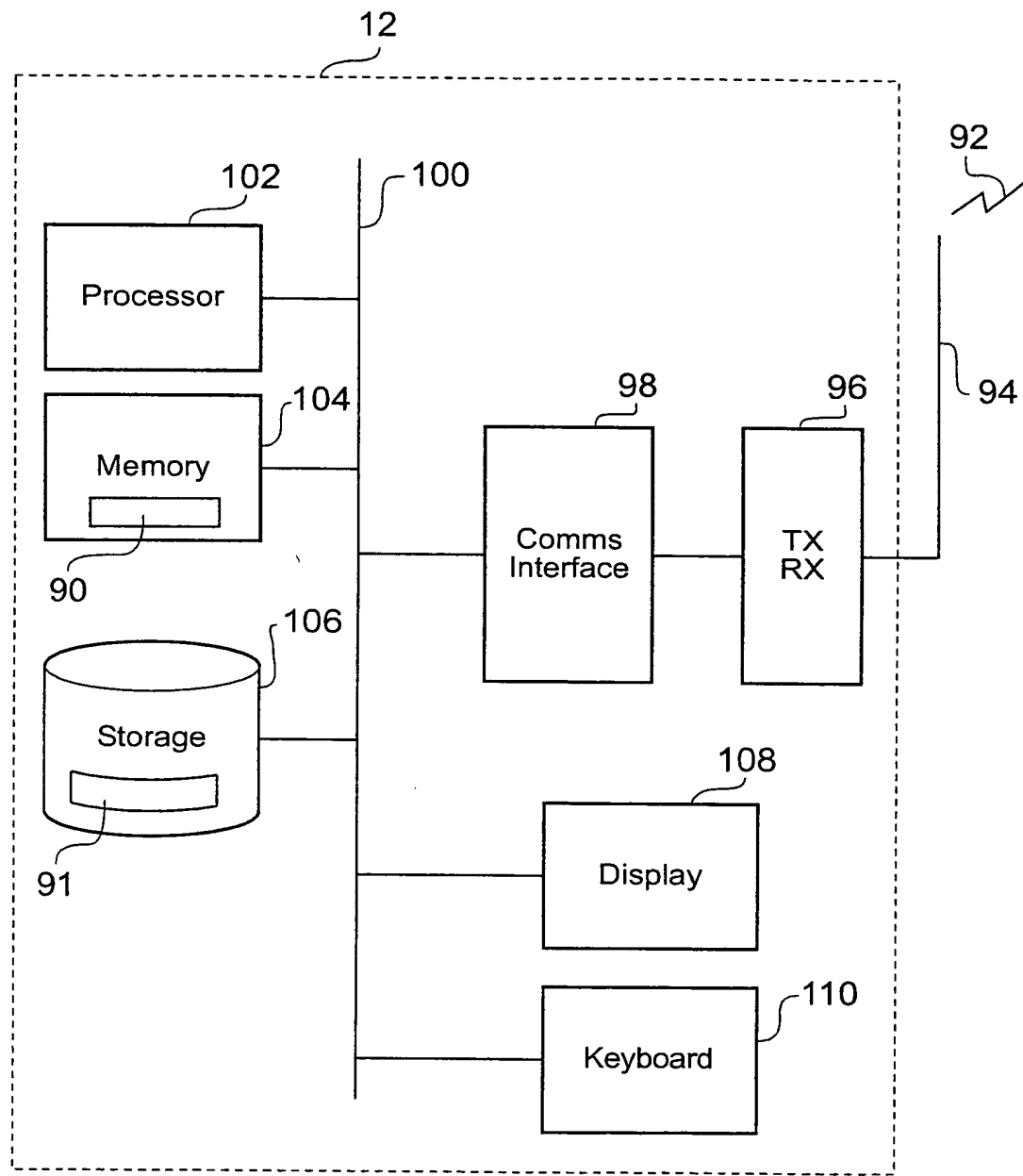


Fig. 4

5/35

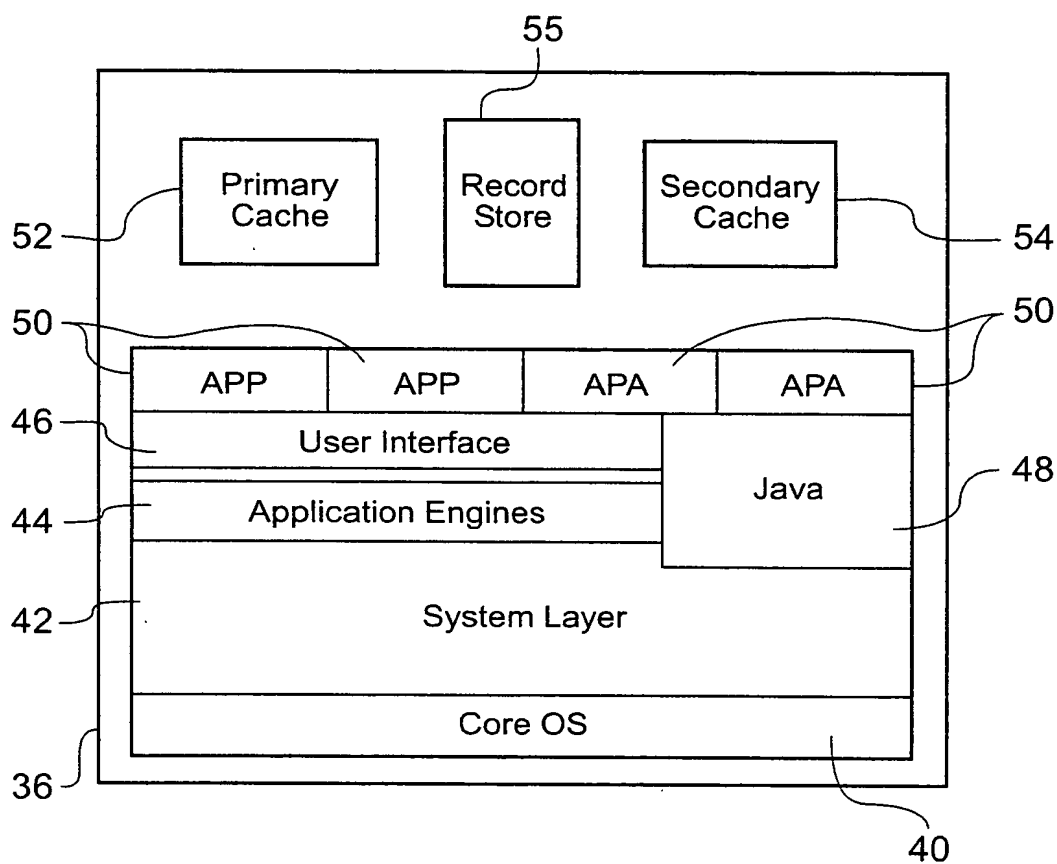


Fig. 5

6/35

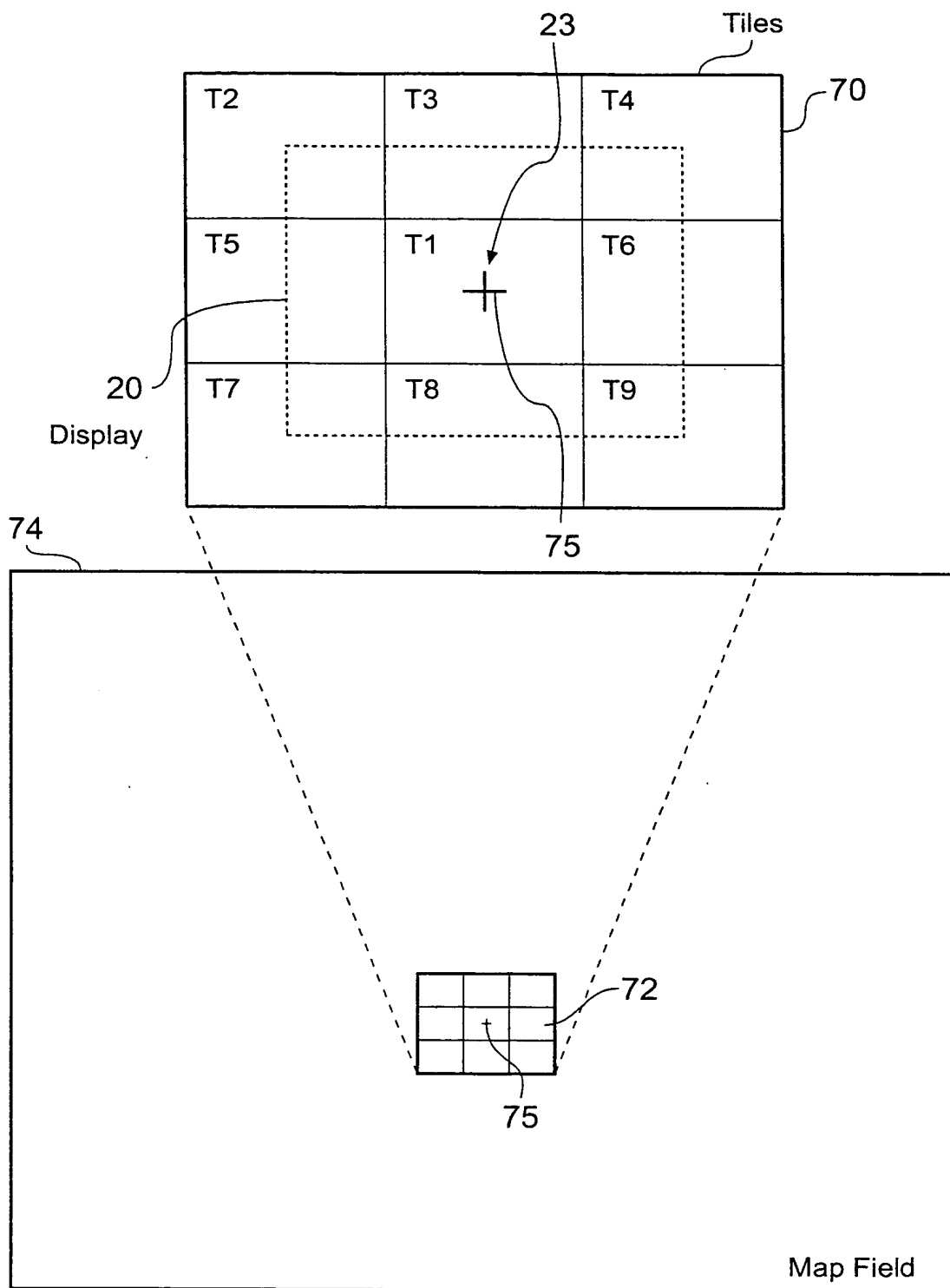


Fig. 6

7/35

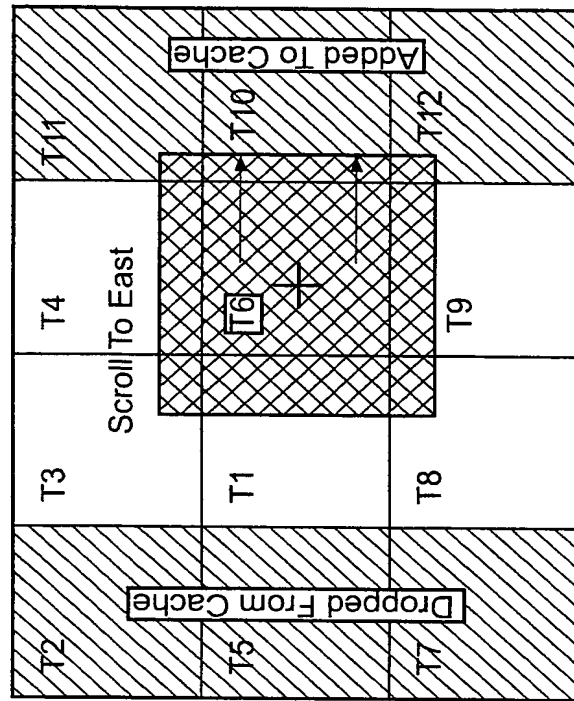


Fig. 7.2

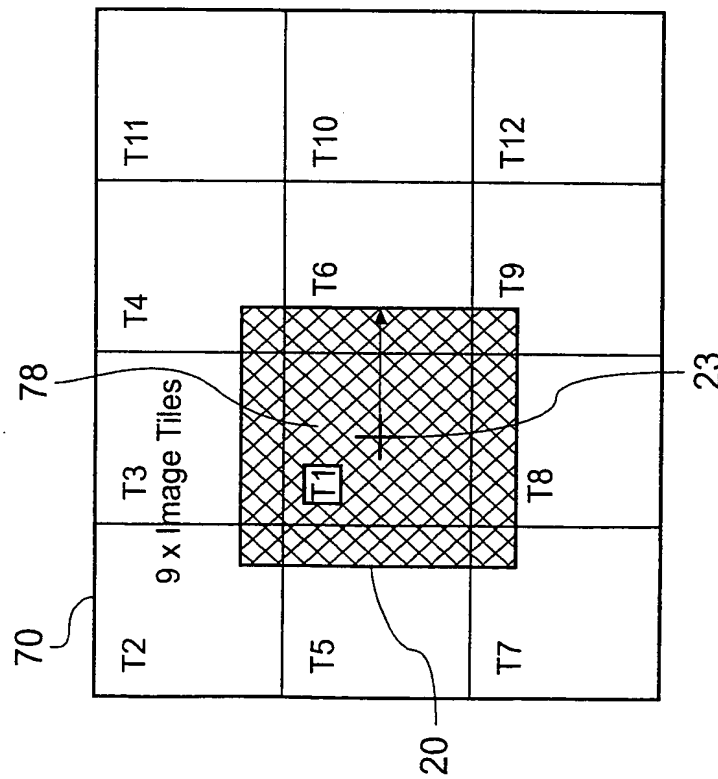


Fig. 7.1

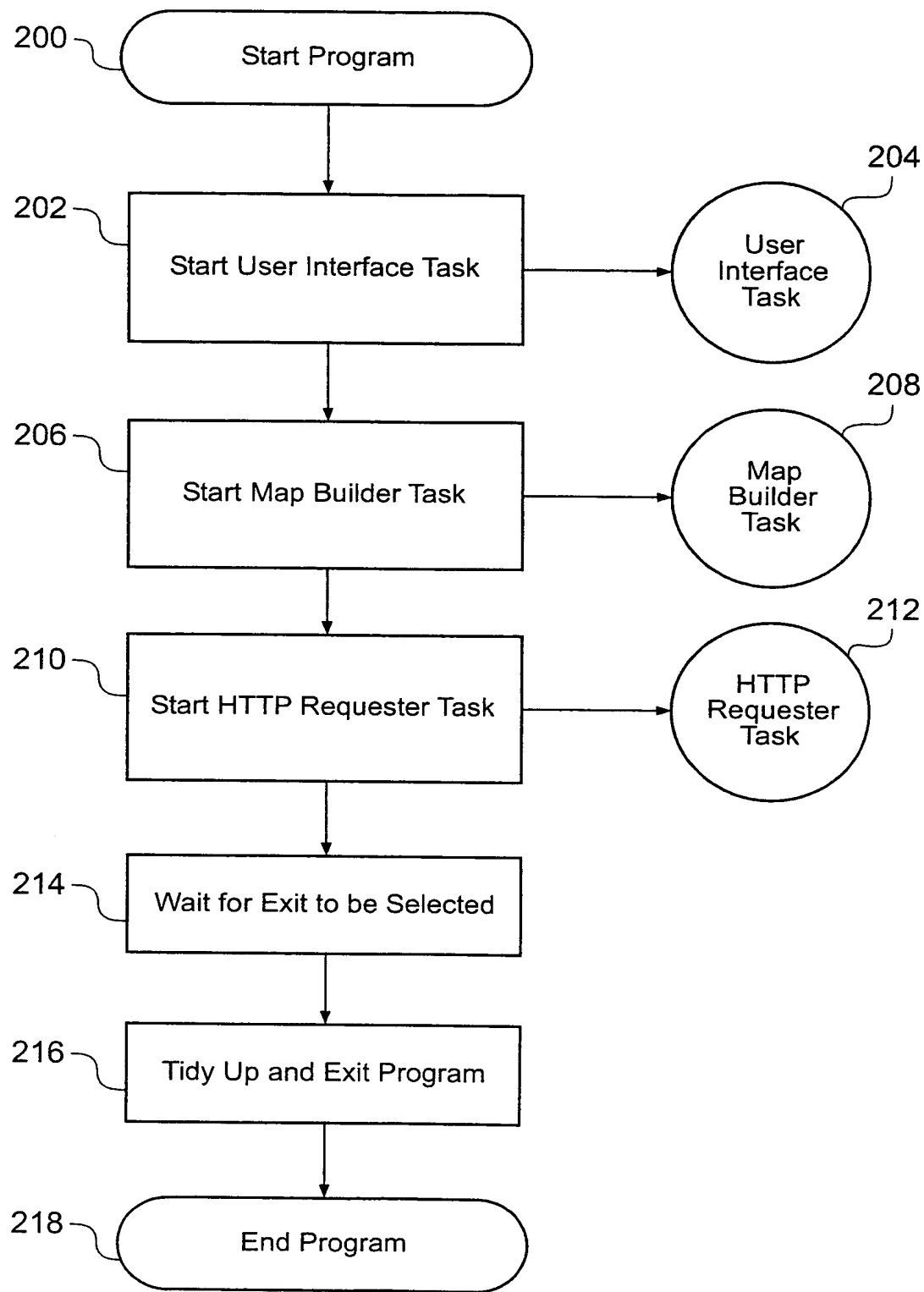


Fig. 8

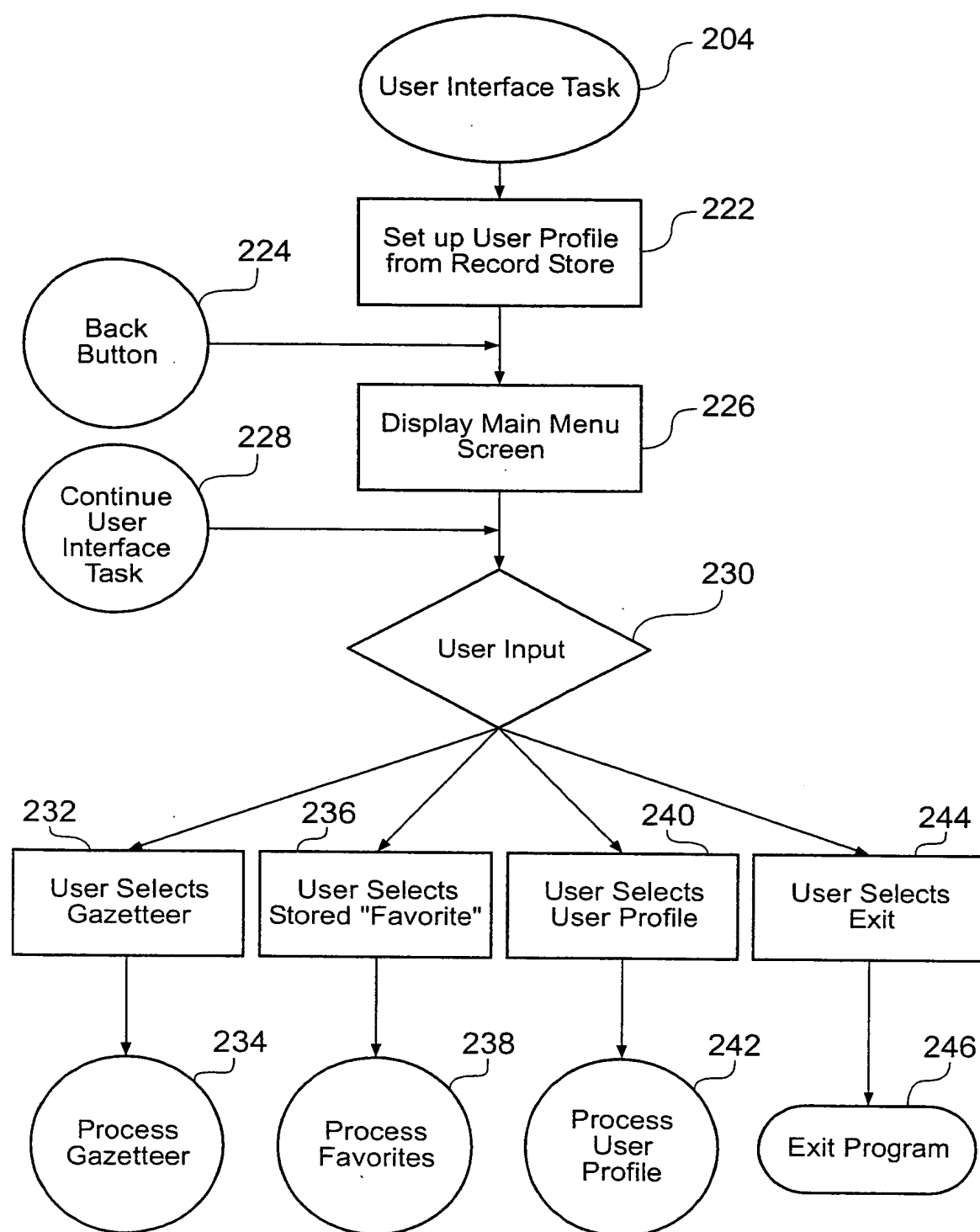


Fig. 9

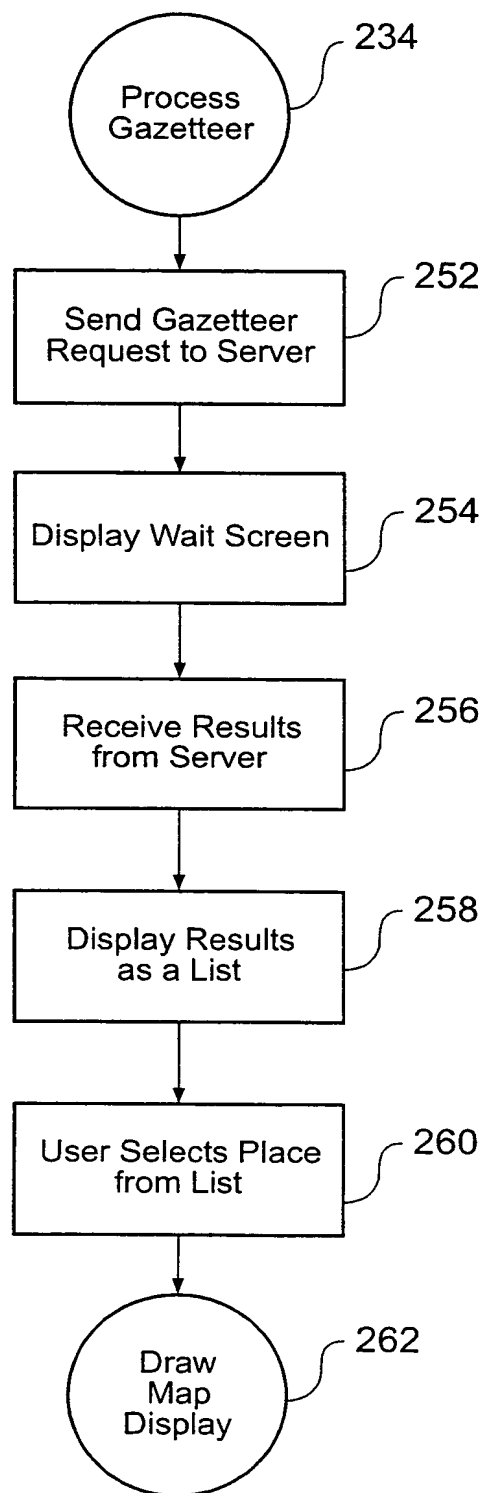


Fig. 10

11/35

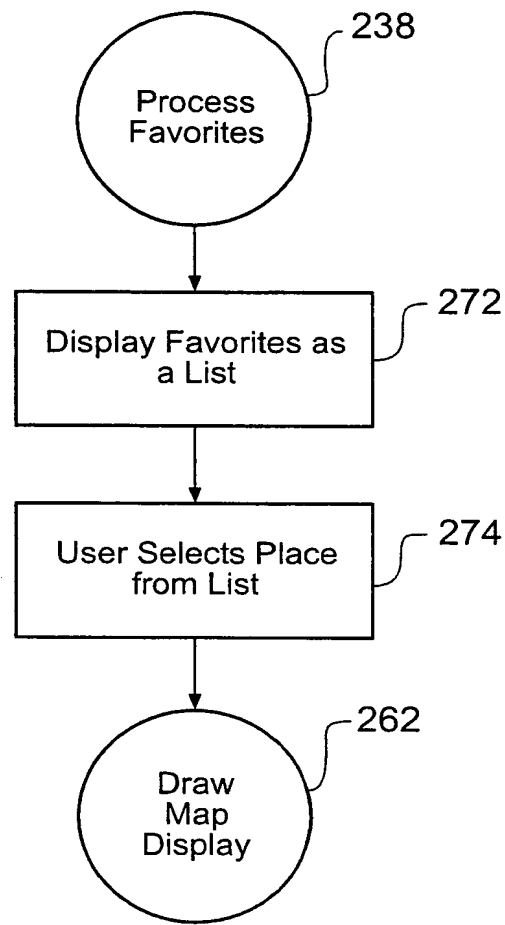


Fig. 11

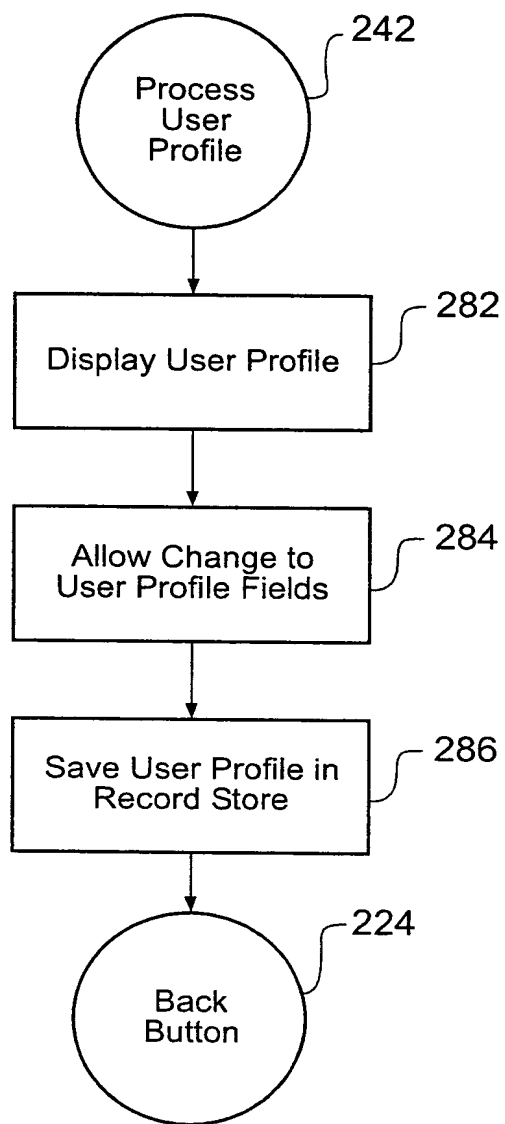


Fig. 12

13/35

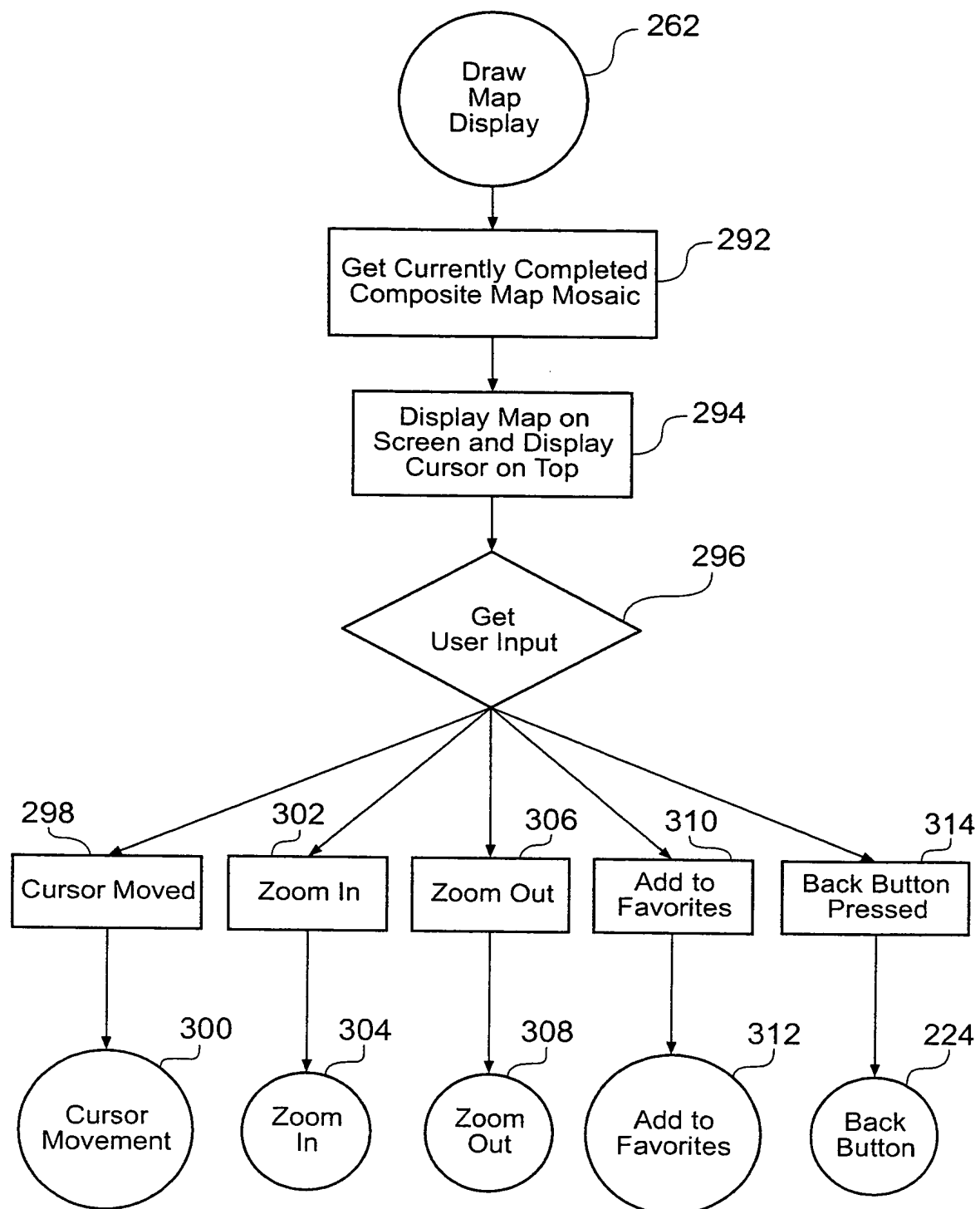


Fig. 13

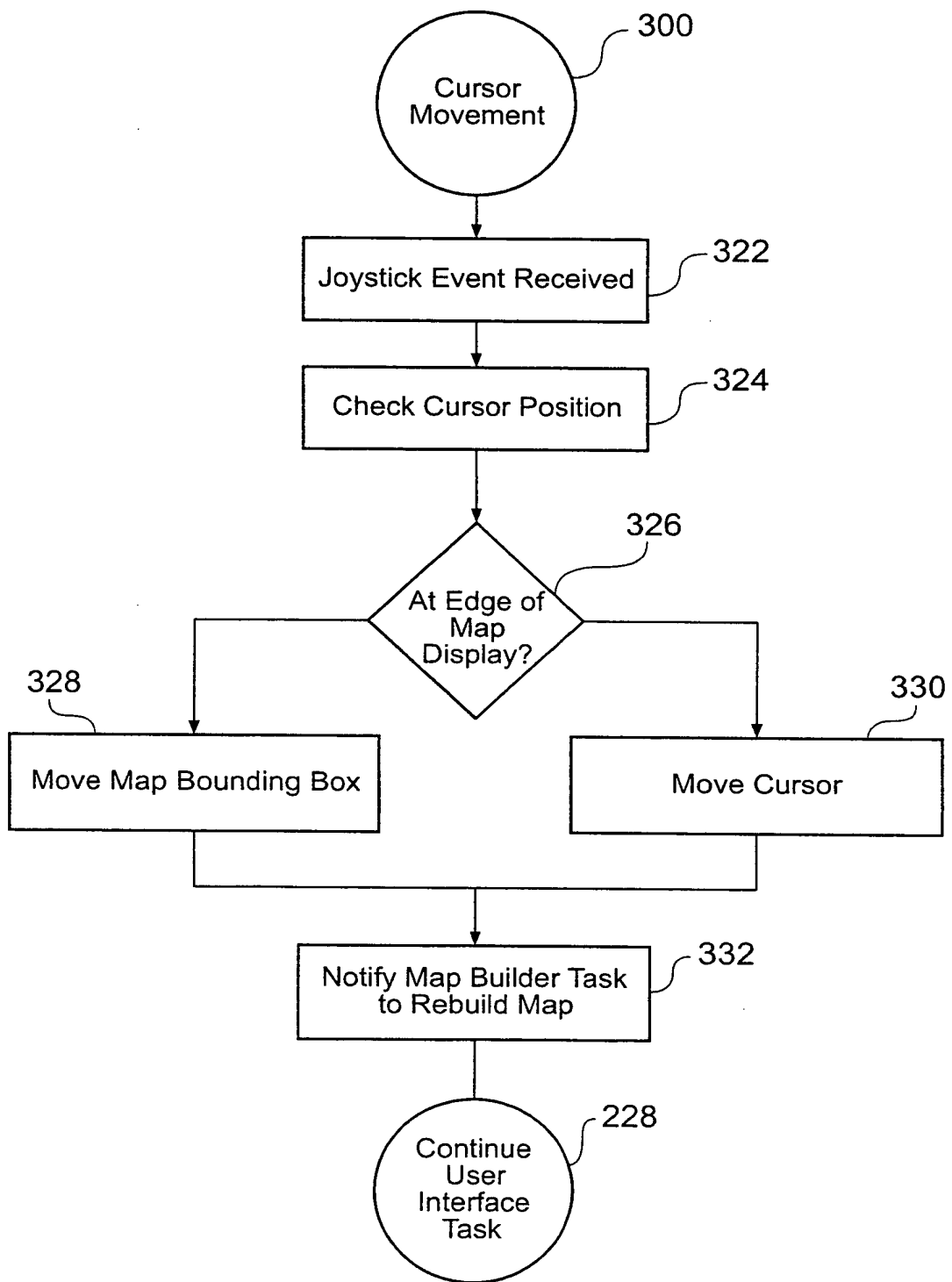


Fig. 14

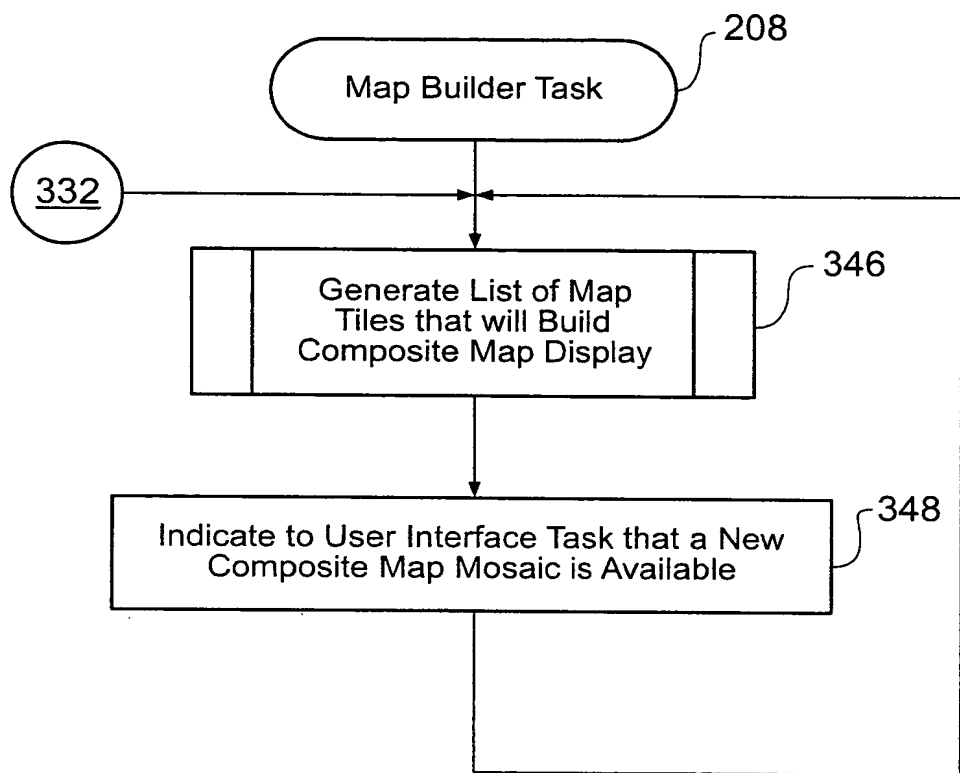


Fig. 15

16/35

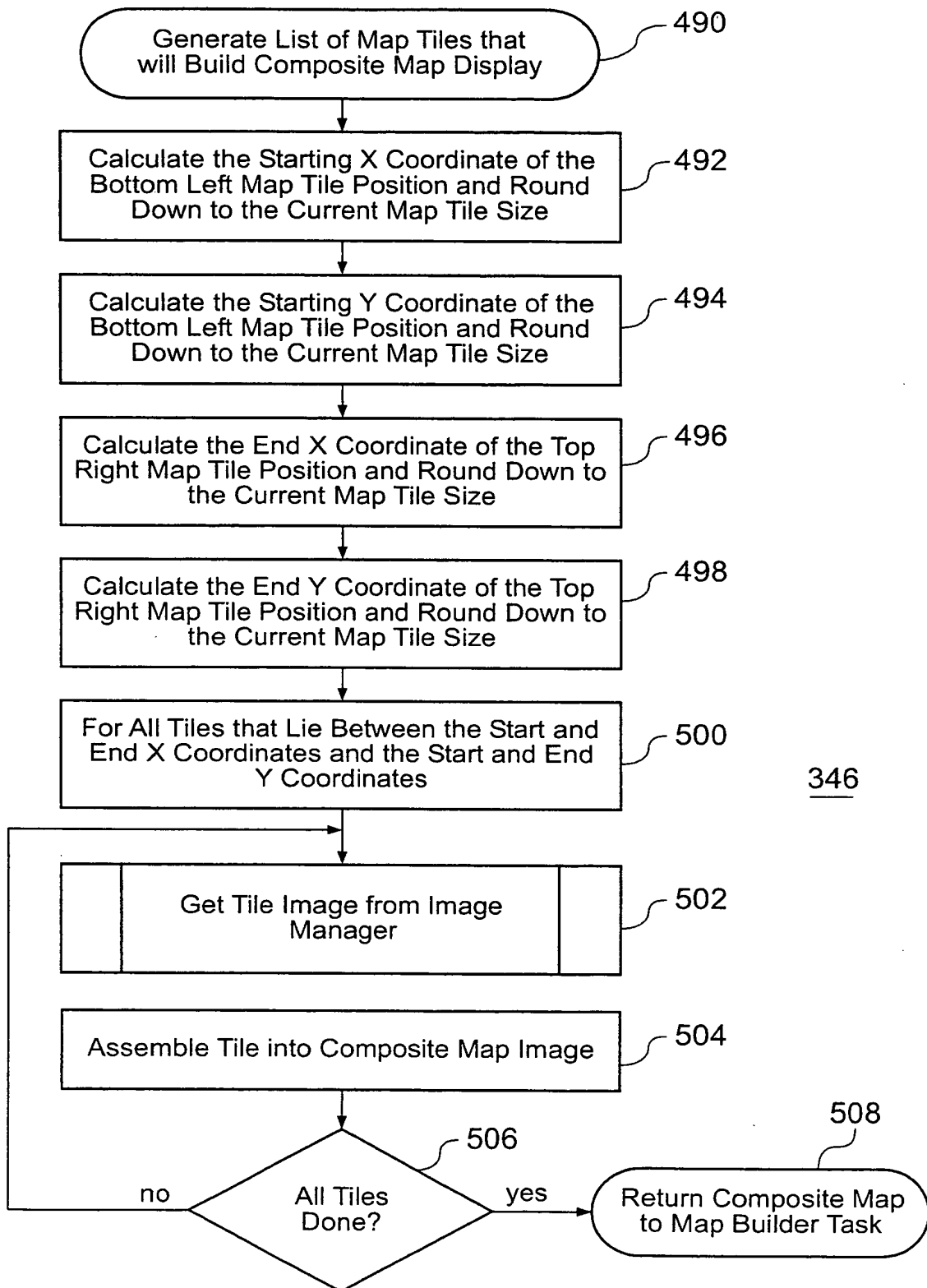


Fig. 16

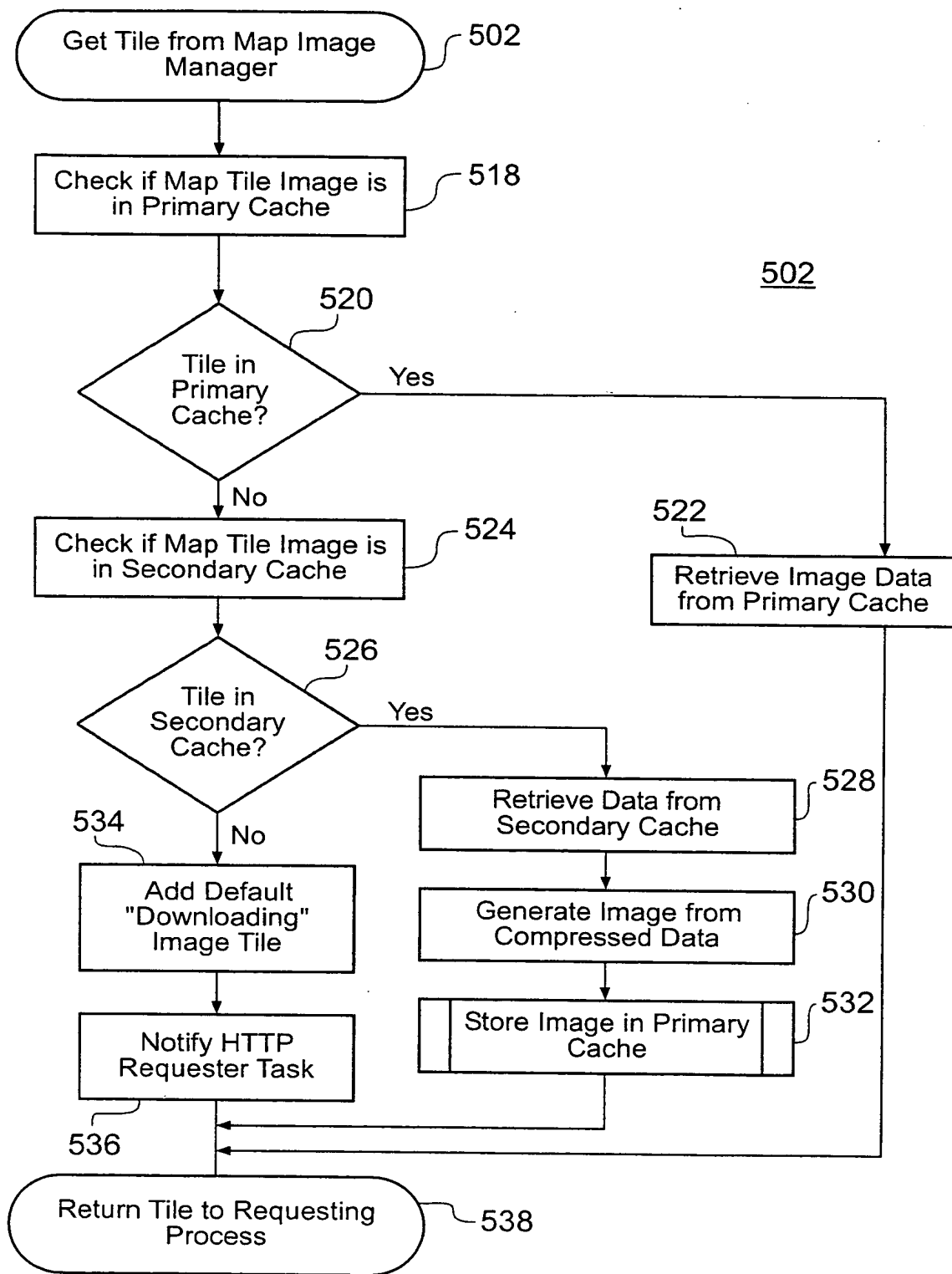


Fig. 17

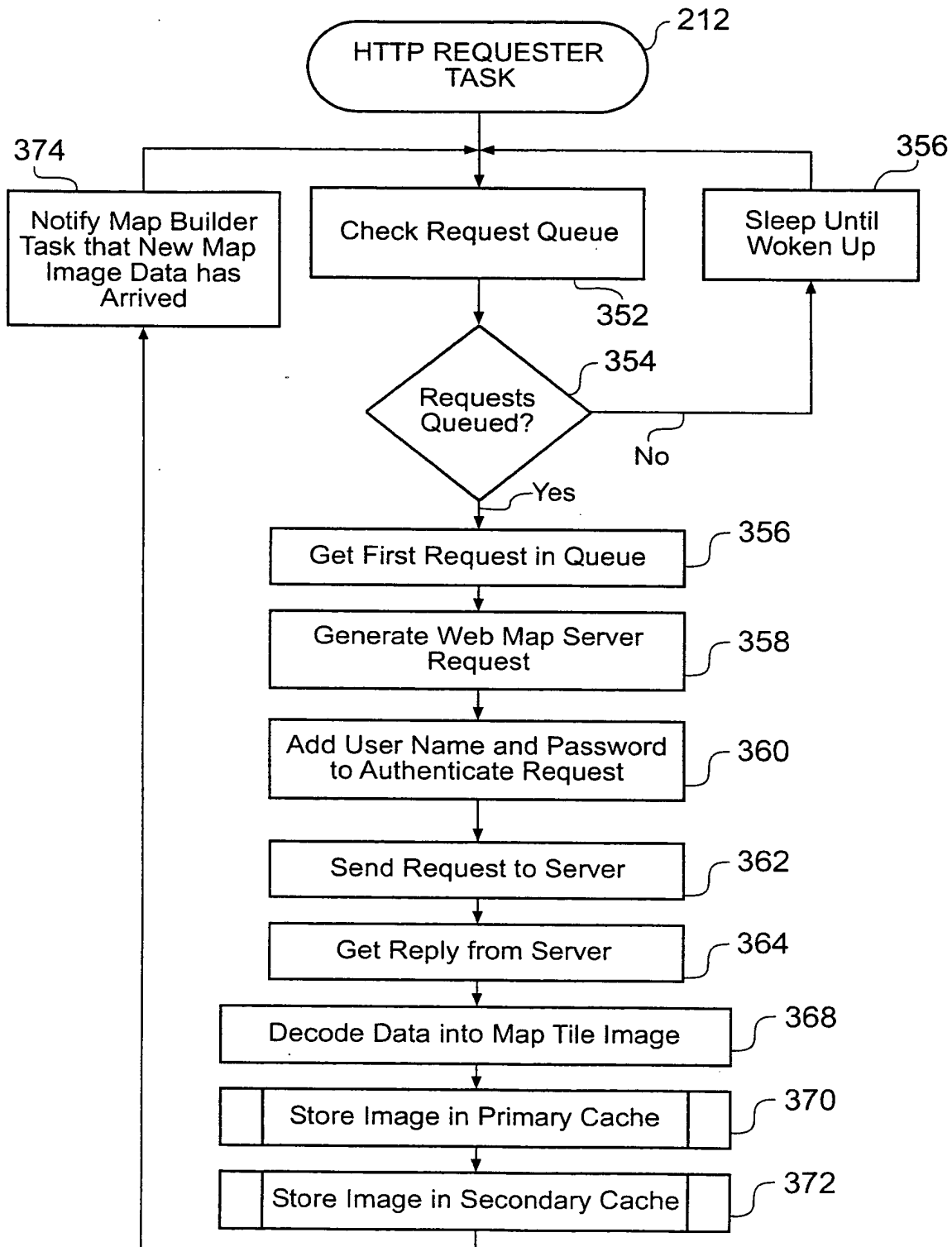


Fig. 18

19/35

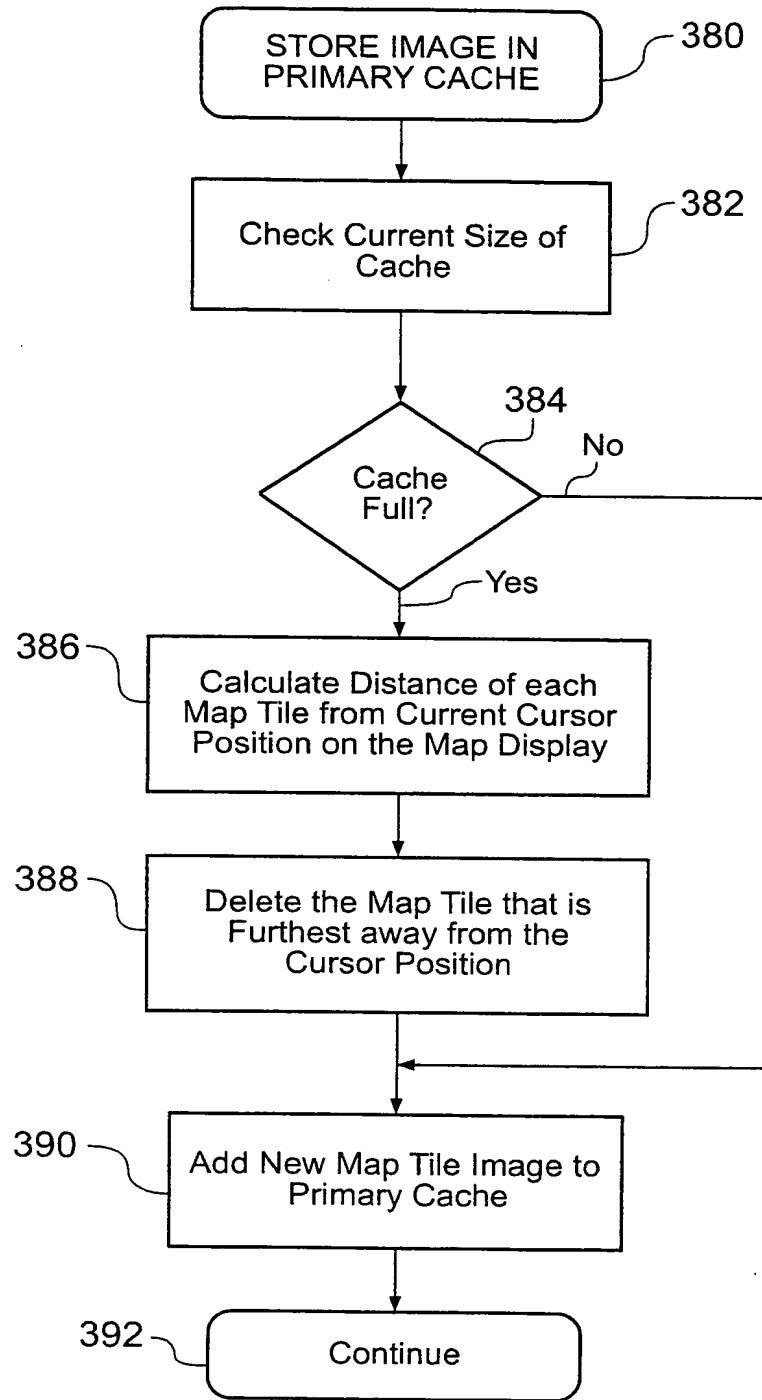


Fig. 19

20/35

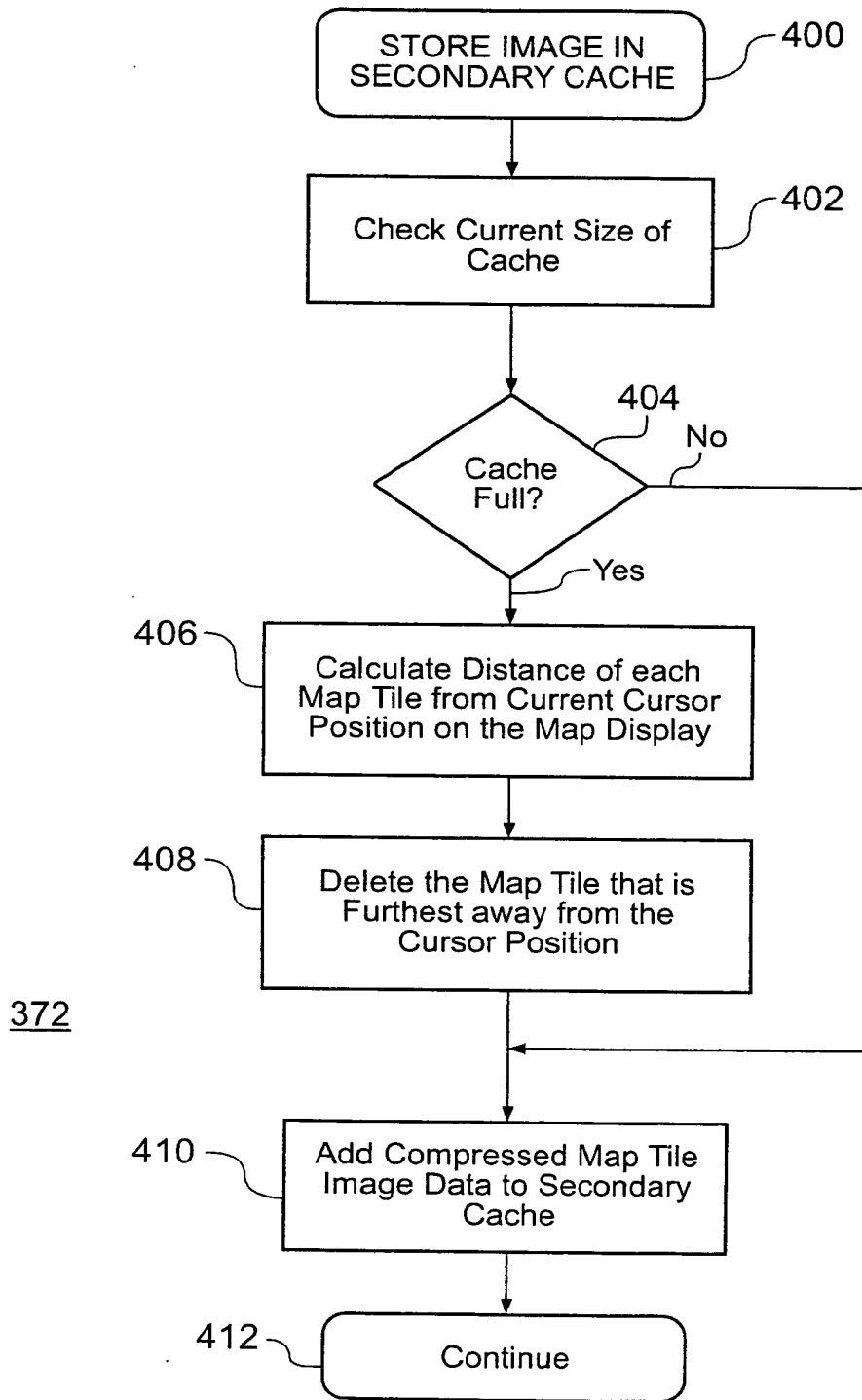


Fig. 20

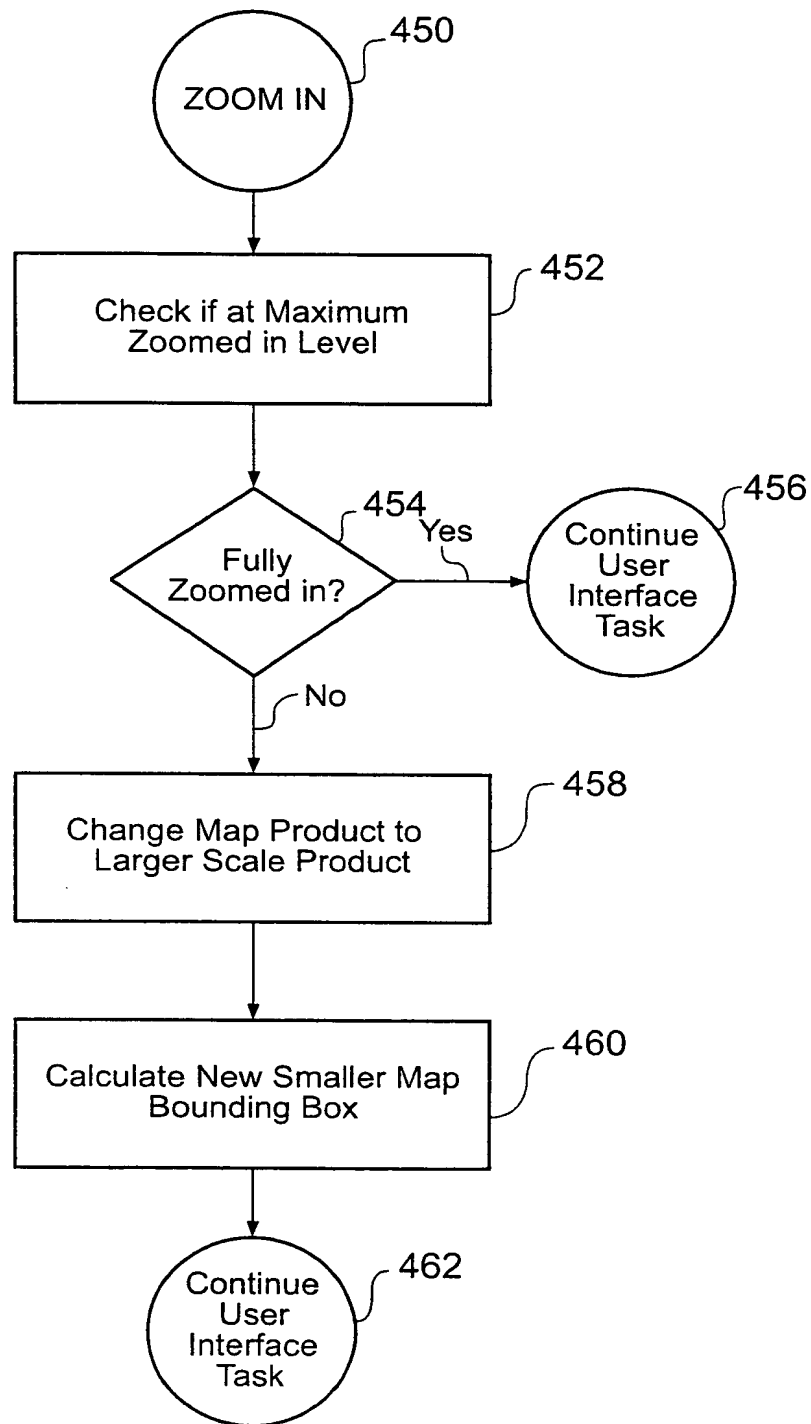


Fig. 21

22/35

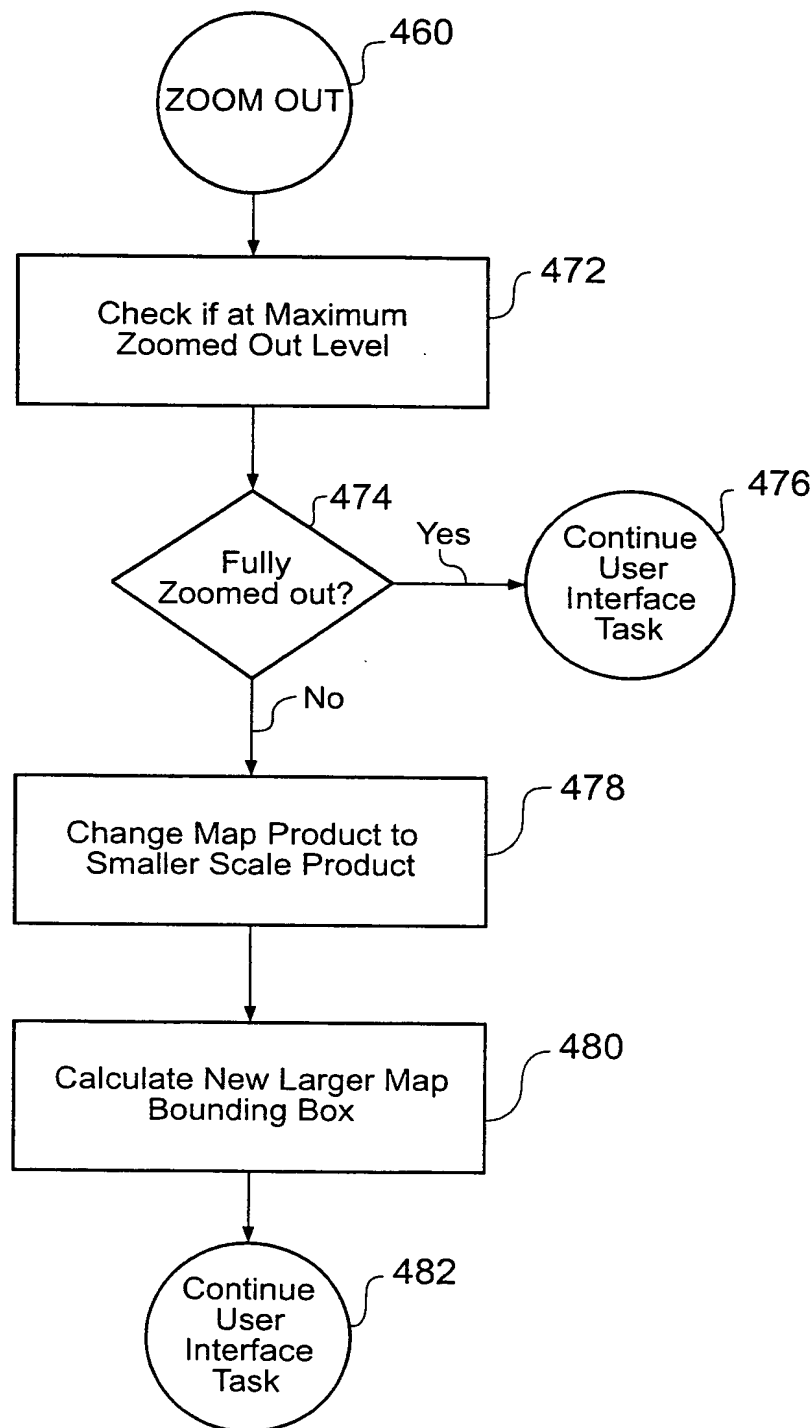


Fig. 22

23/35

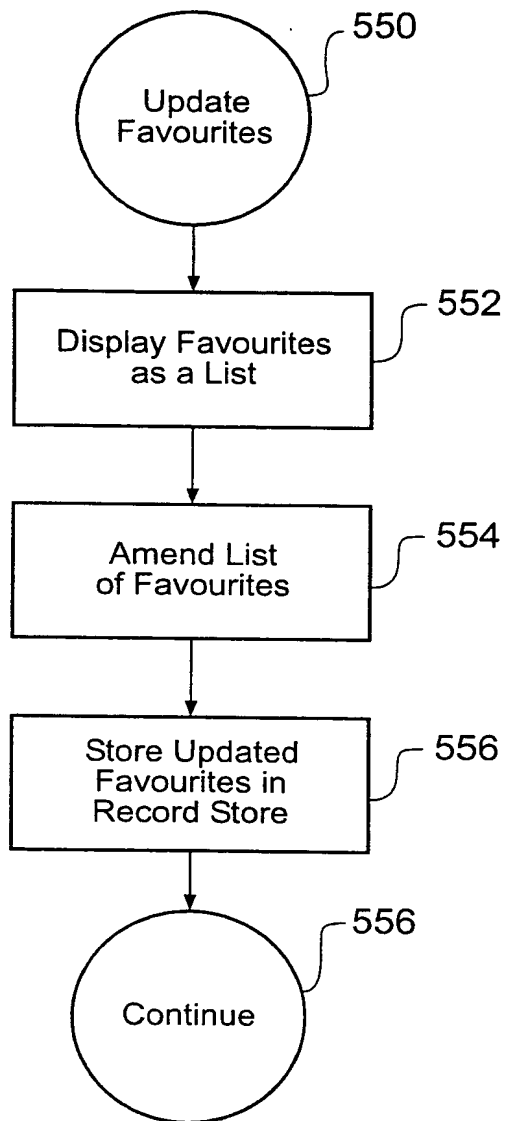


Fig. 23

24/35

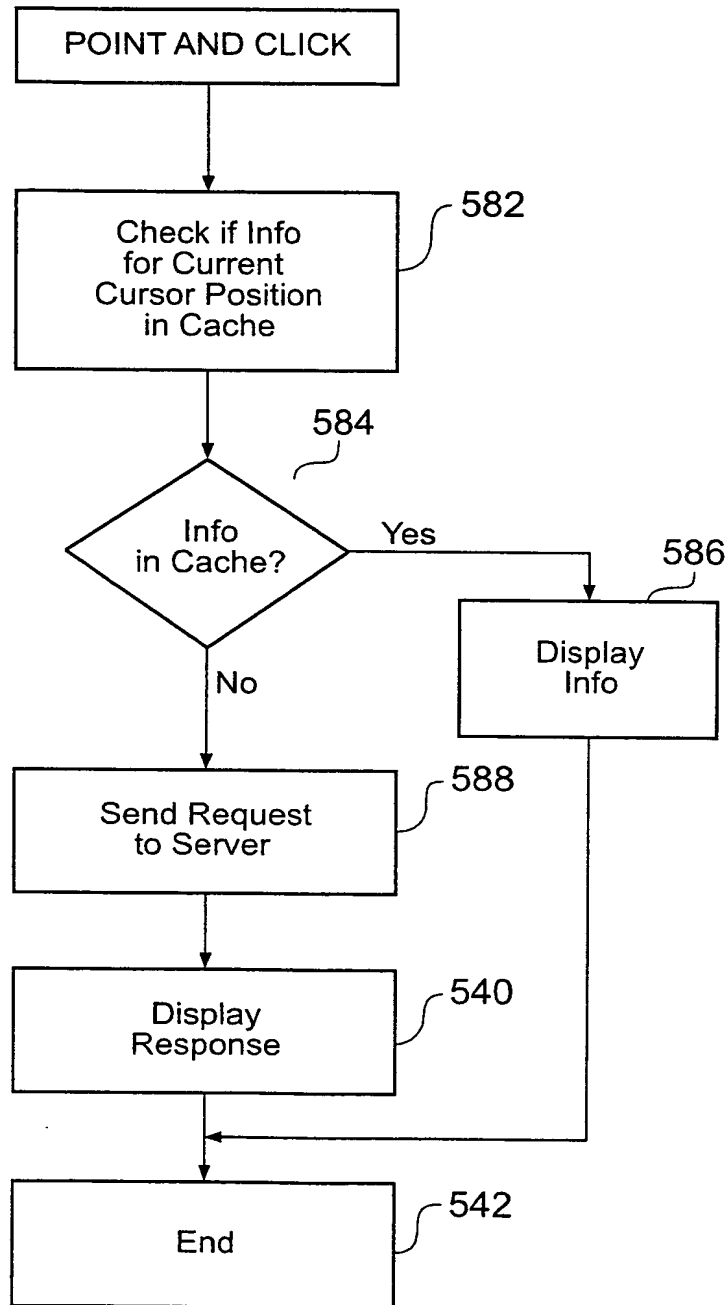


Fig. 24

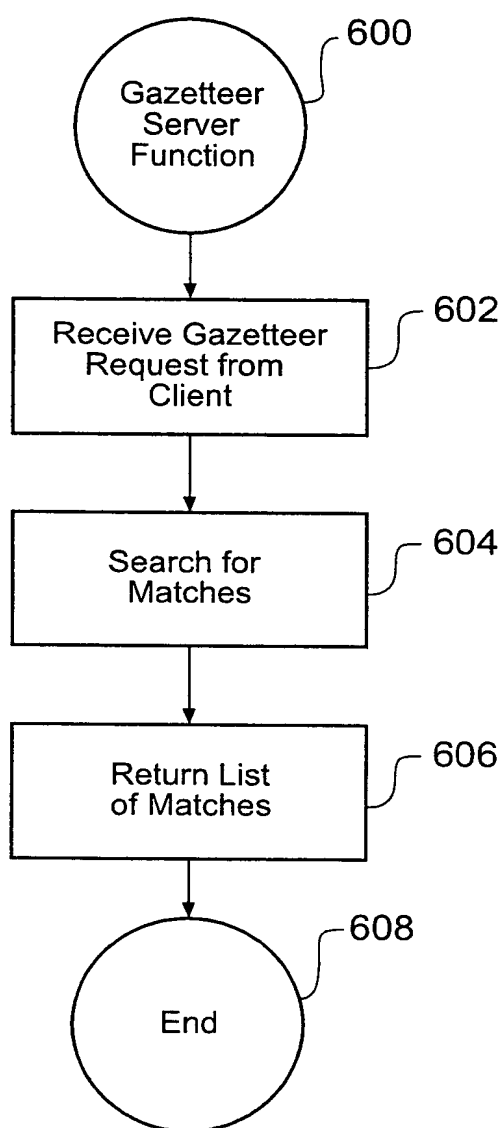


Fig. 25

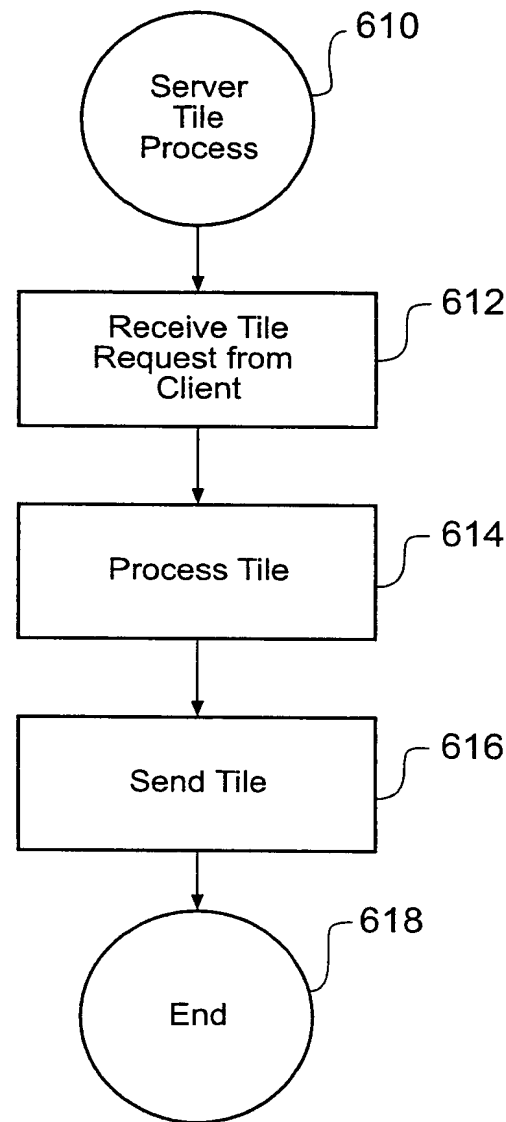


Fig. 26

27/35

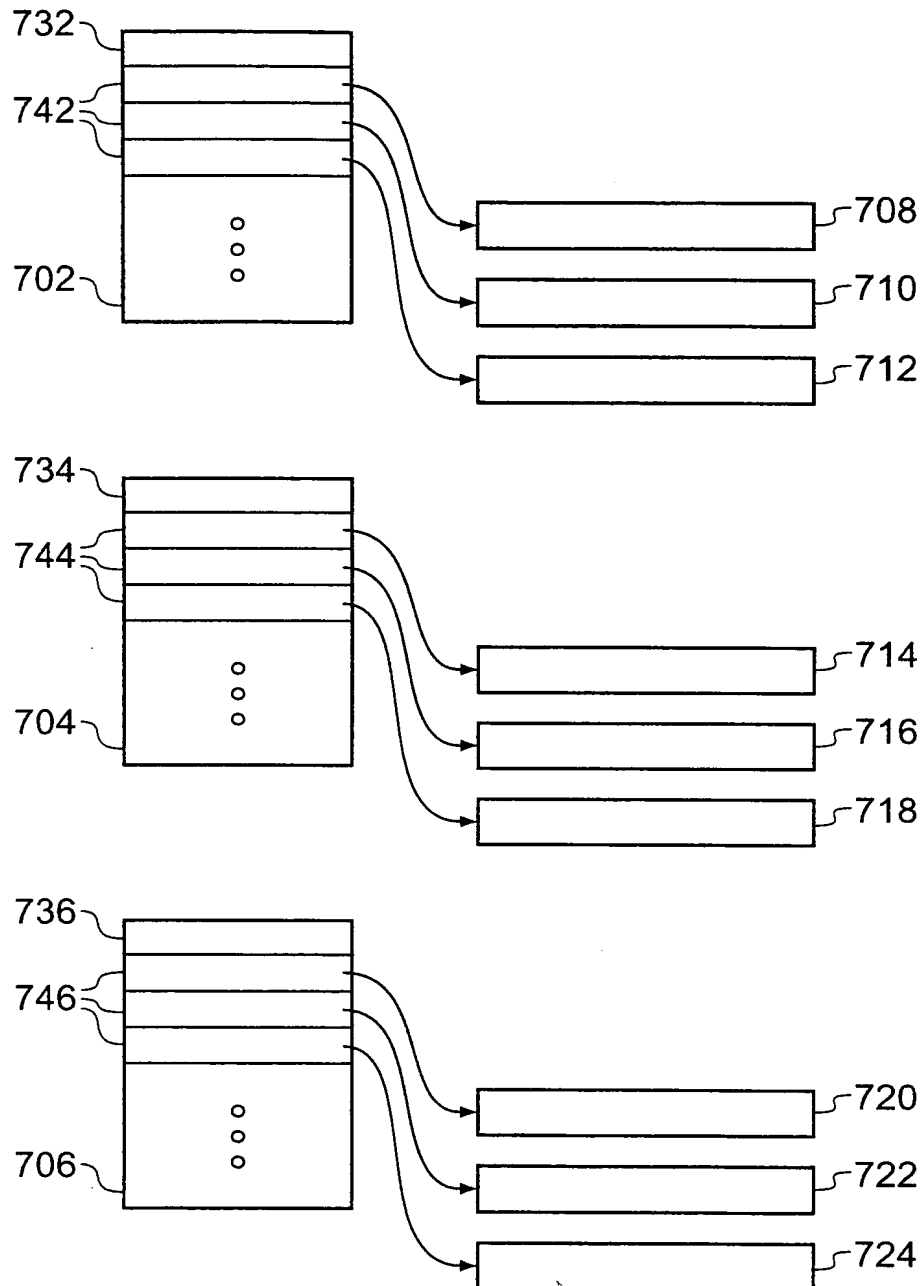


Fig. 27

28/35

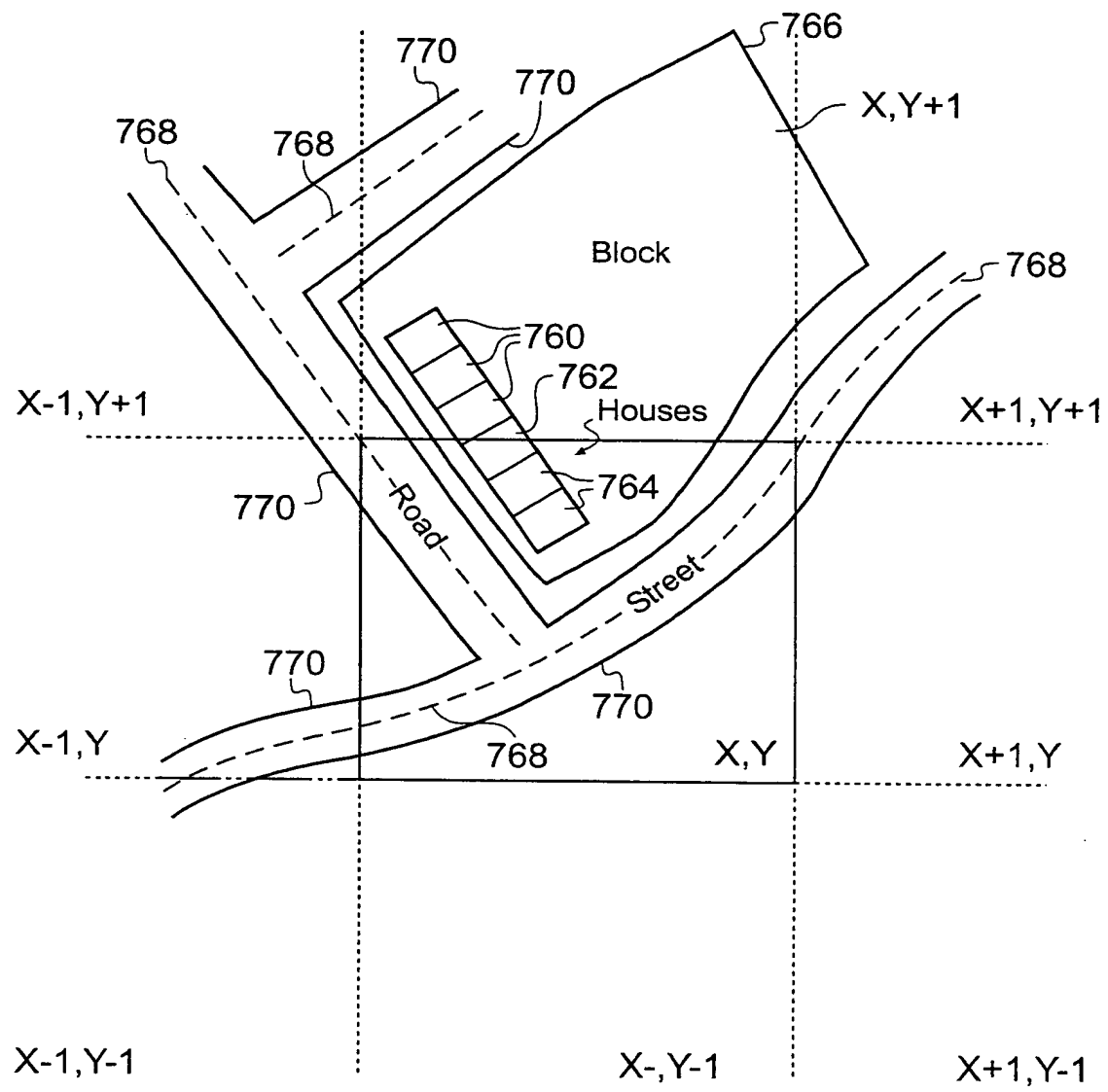


Fig. 28

29/35

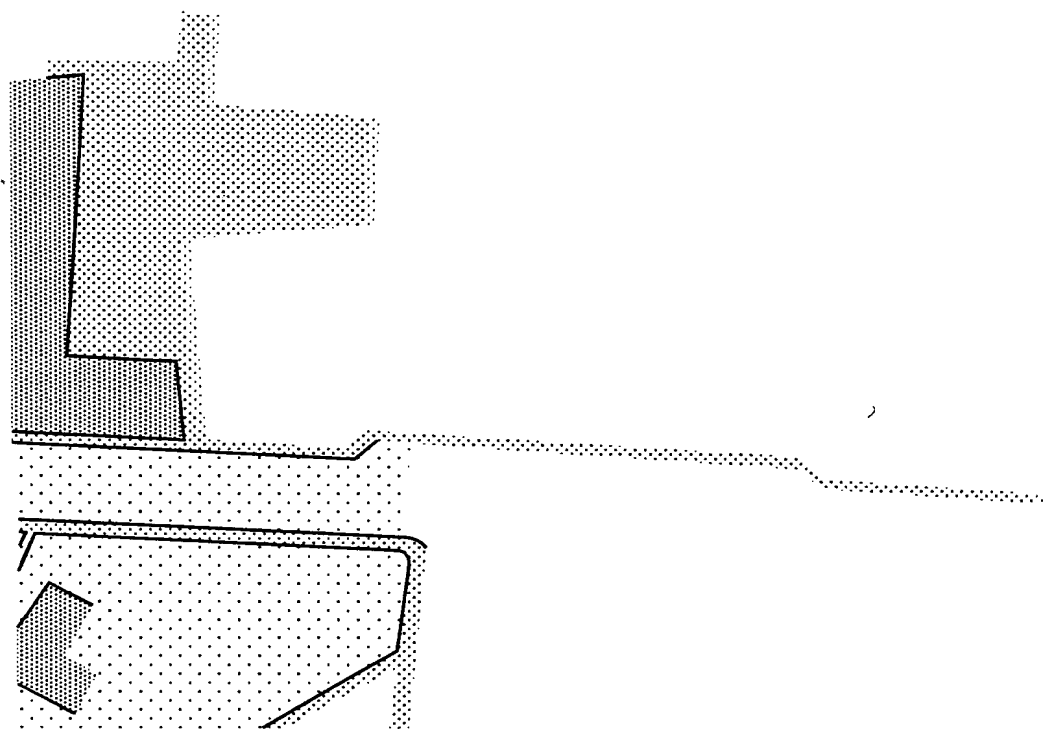


Fig. 29A

30/35

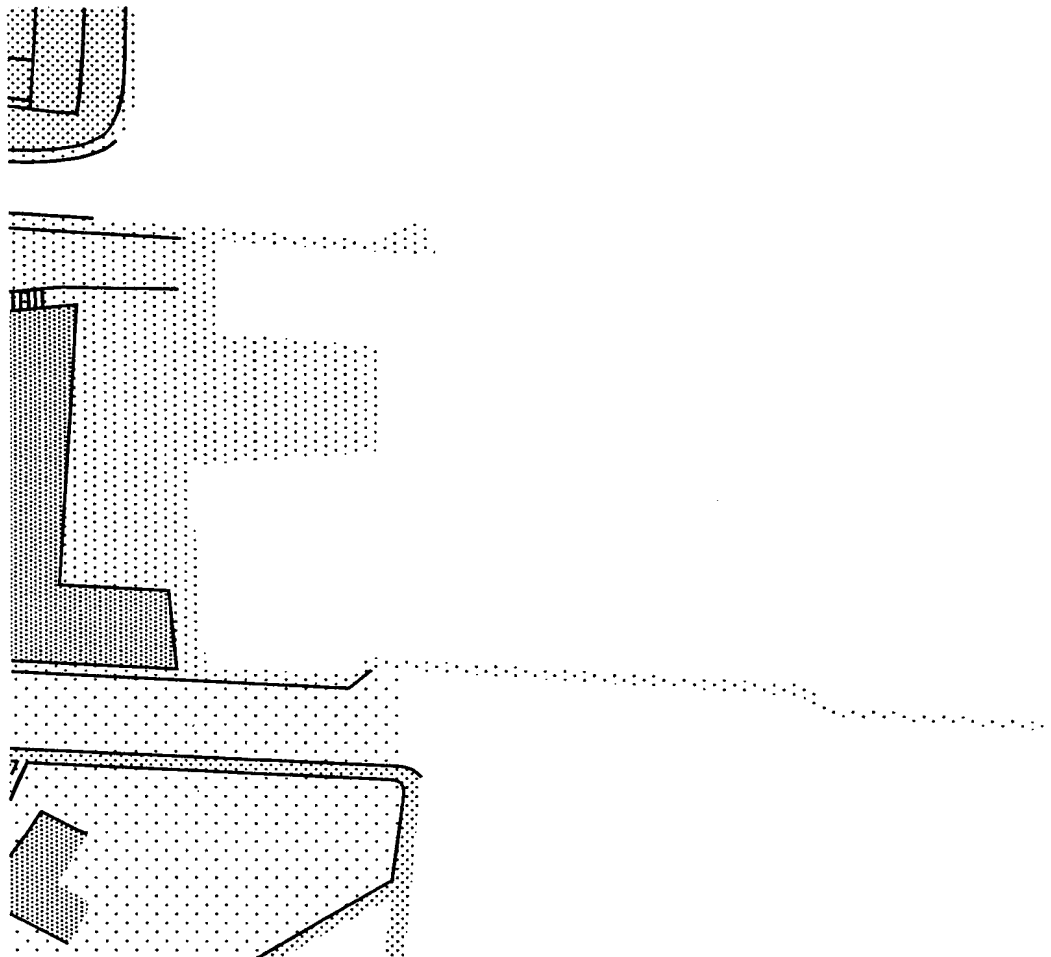


Fig. 29B

31/35

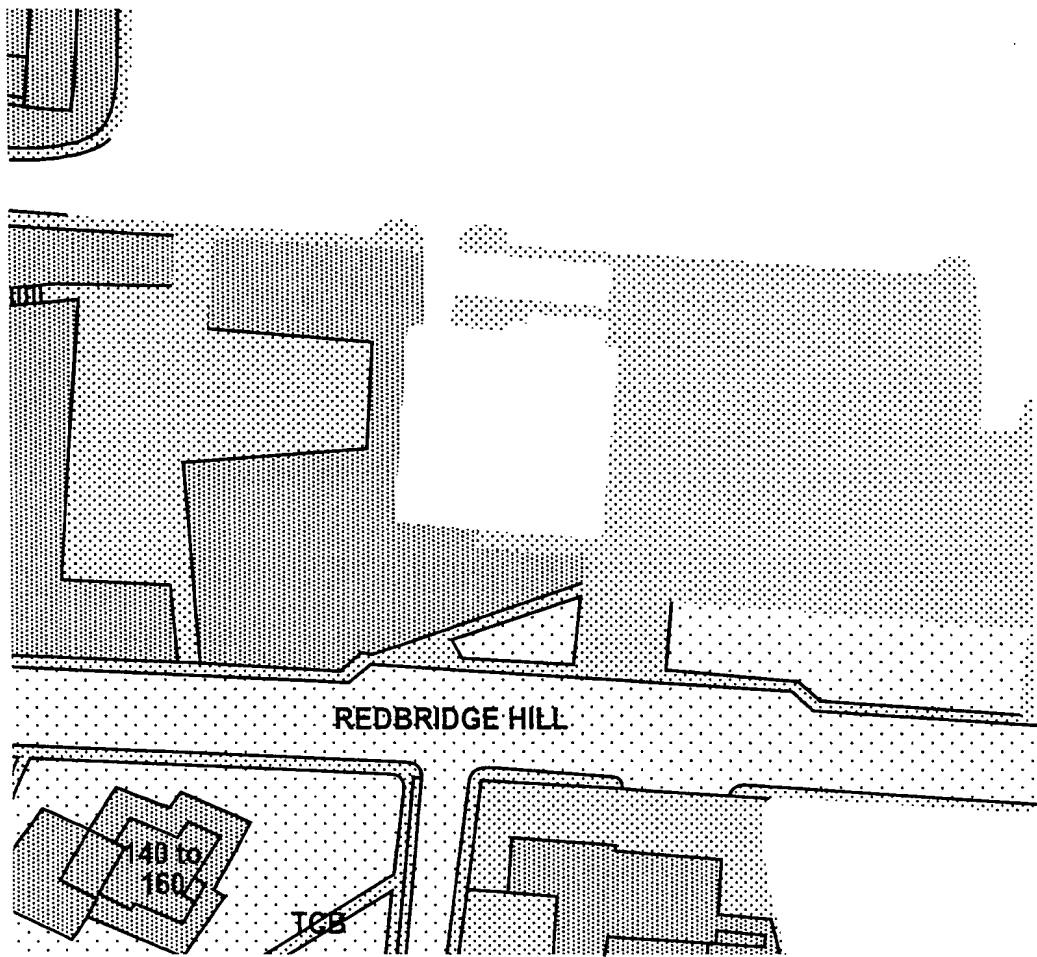


Fig. 29C

32/35

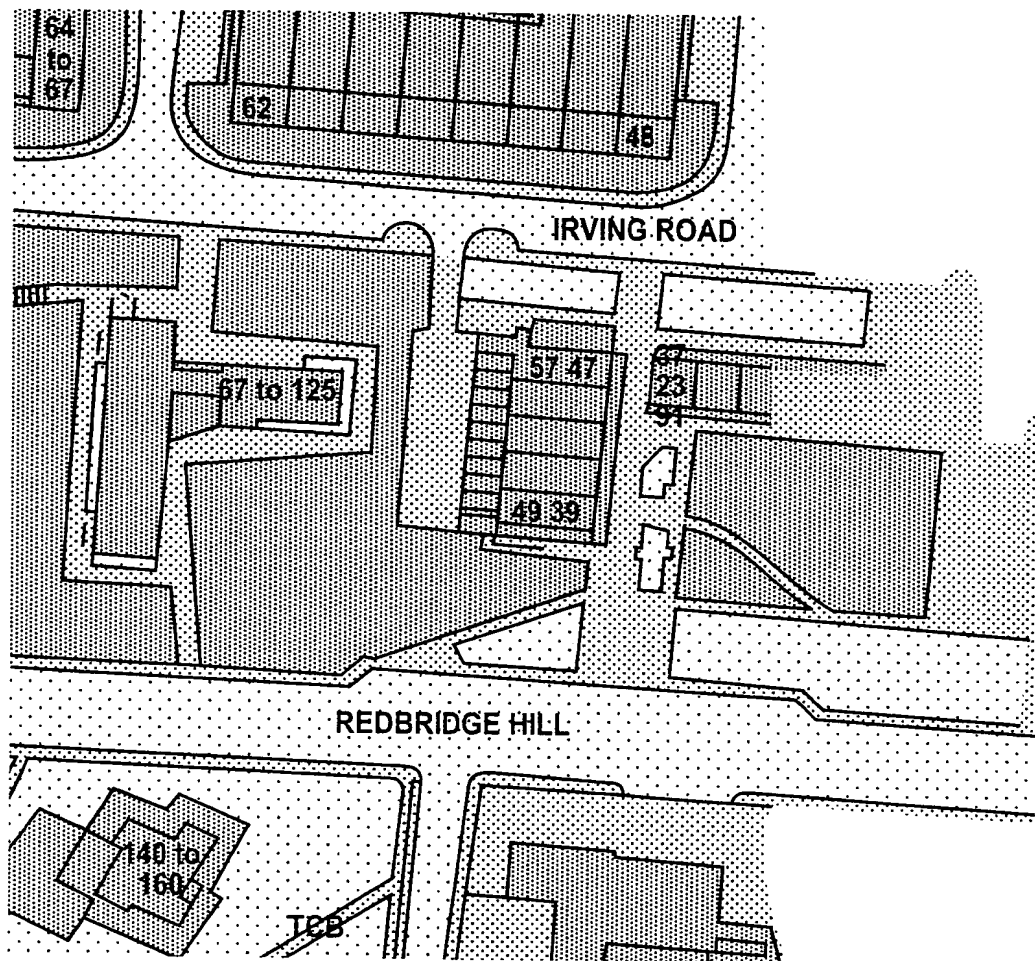


Fig. 29D

33/35

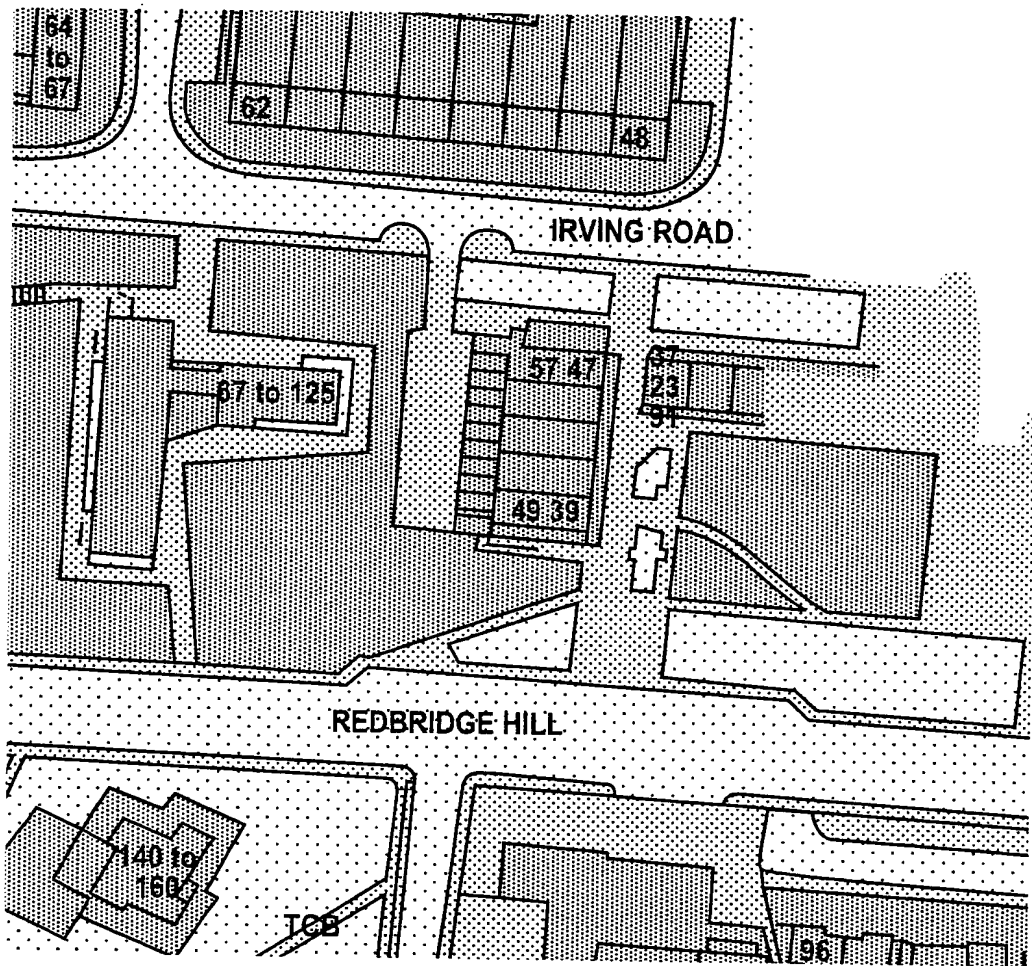


Fig. 29E

34/35

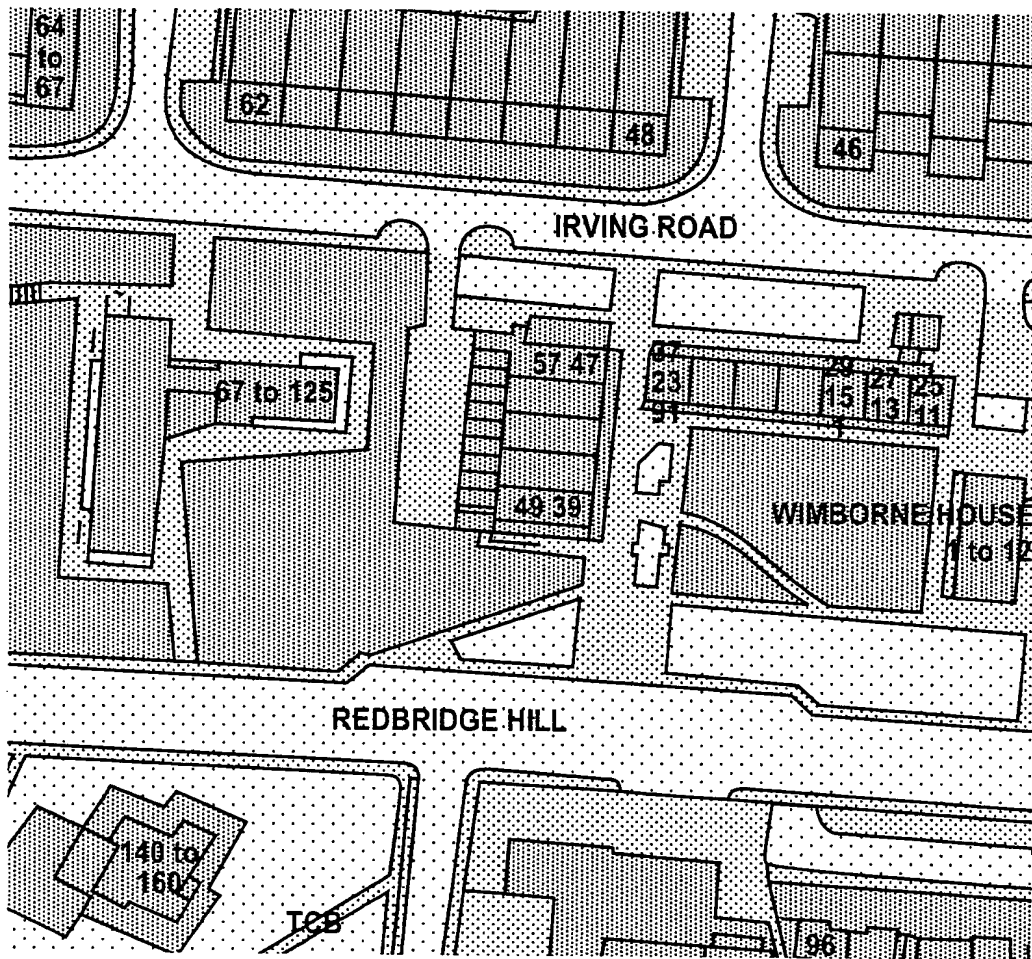


Fig. 29F

35/35

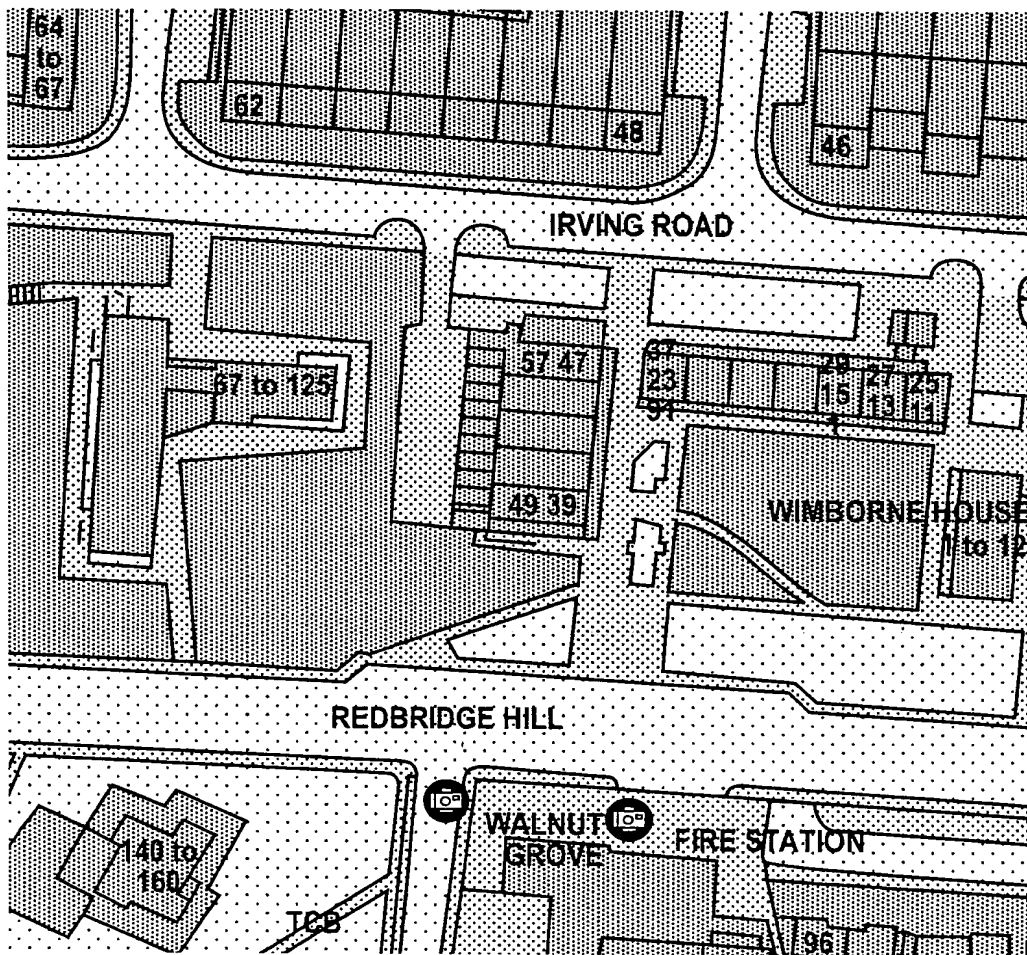


Fig. 29G